



БИООРГАНИЧЕСКАЯ ХИМИЯ

том 1 * № 5 * 1975

УДК 547.963 + 547.854 + 547.416

ХИМИЧЕСКАЯ НАПРАВЛЕННОСТЬ И ПОЗИЦИОННАЯ СПЕЦИФИЧНОСТЬ АЛКИЛИРОВАНИЯ РИБОСОМАЛЬНОЙ РНК 2', 3'-O-[4-(N-2-ХЛОРЭТИЛ-N-МЕТИЛАМИНО)БЕНЗИЛИДЕН]- ОЛИГОНУКЛЕОТИДАМИ В КОМПЛЕМЕНТАРНОМ КОМПЛЕКСЕ *

Гринева Н. И., Карпова Г. Г.

Институт органической химии Сибирского отделения
Академии наук СССР. Новосибирск

На примере реакции рРНК из *E. coli* с $(Ap)_{n-1}A\text{CH-R-Cl}$ исследована химическая направленность и позиционная специфичность комплементарно адресованного алкилирования нуклеиновых кислот реагентами с модифицирующей группировкой на 3'-конце. Алкилирование в комплексе протекает с чрезвычайно высокой позиционной специфичностью, но без какой-либо химической избирательности. Все комплексов алкилируется преимущественно гуанин. С помощью кислотного гидролиза рРНК, алкилированной в комплексе с $(Ap)_5\text{ACH-R-Cl}$, идентифицированы 7-алкилгуанин (OCHR Gua), 3'-алкилцитидиловая кислота (OCHRCp), продукты превращения в кислоте 1-алкиладенина (OCHRAde) и эфиров пуриновых 5'-нуклеотидов. Содержание алкилированных оснований в гидролизате соответствует нуклеотидному составу рРНК. Алкилирование в комплексе протекает по одному определенному положению вблизи 5'-конца участка связывания рРНК. Реакция в комплексе протекает количественно, если в этом конформационно удобном для алкилирования положении находятся гуанин, цитозин или аденин; урацил в реакцию не вступает. Оценена позиционная ошибка алкилирования в комплексах. В условиях неполного связывания комплементарных участков скорость алкилирования в комплексе может превосходить скорость реакции в растворе на 4–5 порядков. Позиционная ошибка комплементарно адресованного алкилирования в этих условиях 0,03%.

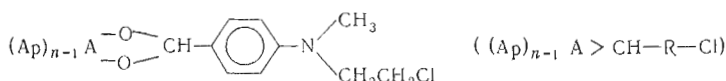
Ранее нами было показано, что при взаимодействии рРНК с алкилирующими производными олигонуклеотидов образуются комплементарные комплексы [1], в которых протекает «комплементарно адресованное» алкилирование рРНК со скоростью, примерно на 3 порядка превышающей скорость алкилирования в растворе (при одинаковых концентрациях реагентов) [2, 3]. После модификации большей части участков связывания в рРНК алкилирование практически останавливается [3].

Специфичность модификации нуклеиновых кислот является весьма важной характеристикой в оценке пригодности метода модификации для

* Принятые сокращения: $(Ap)_{n-1}A > \text{CH-R-Cl} = 2',3'-O-[4-(N-2-хлорэтил-N-метиламино)бензилиден]олигоаденилаты$ ($n = 4-6$); OCHR-pRNK — β -[N-метил-N-(4-формилфенил)амино]этил-рРНК; OCHR Gua — 7-[β -(N-метил-N-(4-формилфенил)амино)этил]гуанин; OCHRCp — 3-[β -(N-метил-N-(4-формилфенил)амино)этил]цитидин-3'(2')фосфат; OCHRCyt — 3-[β -(N-метил-N-(4-формилфенил)амино)этил]цитозин; OCHRAde — 1-[β -(N-метил-N-(4-формилфенил)амино)этил]аденин; UCH-R-Cl — 2',3'-O-[4-(N-2-хлорэтил-N-метиламино)бензилиден]уридин; OCHRpZ — β -[N-метил-N-(4-формилфенил)амино]этиловый эфир производного 5'-рибозофосфата.

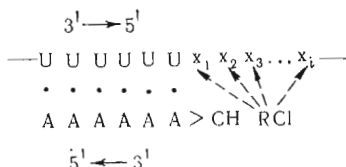
структурно-функциональных исследований. Еще более важной эта характеристика становится для комплементарно адресованной модификации — метода, предназначенного для модификации определенных оснований в избранном участке полинуклеотидной цепи и претендующего на подобие ферментативным процессам.

В данной работе исследовалась специфичность алкилирования рРНК в комплексе с алкилирующими производными олигонуклеотидов, содержащими модифицирующую группировку на 3'-конце — 2',3'-0-[4-(N-2-хлорэтил-N-метиламино)бензилиден]олигоаденилатами с n от 4 до 6:



Общая специфичность алкилирования в комплексе будет определяться, очевидно, химической направленностью реакции, точностью узнавания реагентом соответствующих последовательностей в нуклеиновой кислоте (комplementационная специфичность) и соотношением степени модификации оснований, расположенных вблизи участков связывания и удаленных от них (позиционная специфичность). К последней можно, вероятно, отнести и точность алкилирования мономерного звена (x), расположенного на определенном расстоянии от участка связывания ($x_1 — x_i$).

Что касается комплементационной специфичности алкилирования в комплексе, то она, как показано в работе [3], определяется комплементарными свойствами олигонуклеотидной части реагента и температурными условиями реакции, поскольку алкилирование в комплексе подчиняется тем же закономерностям, что и ассоциация реагентов и соответствующих олигонуклеотидов. Алкилирование реагентами с модифицирующей группой на 3'-конце будет, очевидно, вызывать модификацию оснований на 5'-конце участка связывания в нуклеиновой кислоте в силу того, что комплементарные комплексы образуются антипараллельными цепями поли- и олигонуклеотидов.



Позиционная специфичность алкилирования производными олигонуклеотидов будет зависеть от различий в реакционной способности реагентов в комплексах и в растворе. Согласно [4], реакционная способность хлорэтилариламинов по отношению к нуклеиновым кислотам определяется отношением констант скоростей реакций этих реагентов с нуклеиновой кислотой и низкомолекулярными нуклеофилами, присутствующими в реакционной среде (эффективностью реагентов). На алкилирование нуклеиновых кислот нуклеотидными производными хлорэтилариламинов в растворе (без образования комплексов) расходуется незначительная часть реагента: 0,1—0,3% [2—4].

При алкилировании рРНК в комплексах с $(Ap)_{n-1}A > \text{CH-R-Cl}$ ($n = 4—6$) в условиях, не приводящих к насыщению всех участков связывания, с рРНК ковалентно связывается 80—96% реагентов, взятых в реакцию (рис. 1). Однако эффективность использования реагента не отражает его реакционной способности в комплексе, поскольку часть реагента не связана в комплекс (находится в растворе в свободном состоянии из-за обратимости комплексообразования). Возможно также, что не все участки связывания реагента содержат по соседству основания, способ-

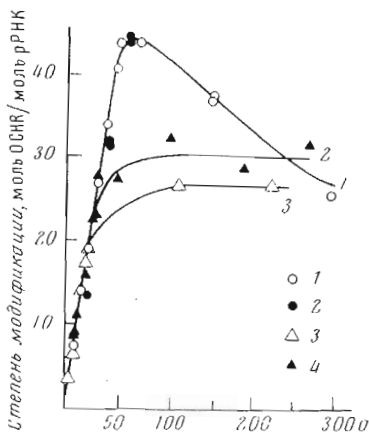


Рис. 1

Рис. 1. Зависимость степени алкилирования рРНК в комплексе с $(Ap)_{n-1} ACH-R-Cl$ ($a = [(Ap)_{n-1} A > CH-R-Cl]_0 / [рРНК]_0$) от концентрации реагентов при 5°: 1, 2 — $n = 6$; 2 — алкилирование при 10°; 3 — $n = 5$; 4 — $n = 4$; концентрация рРНК 0,061 мкM

Рис. 2. Изотермы адсорбции $(Ap)_{n-1} A > CNRCl$ с рРНК при 0° [1]: 1 — $n = 6$; 2 — $n = 5$; 3 — $n = 4$

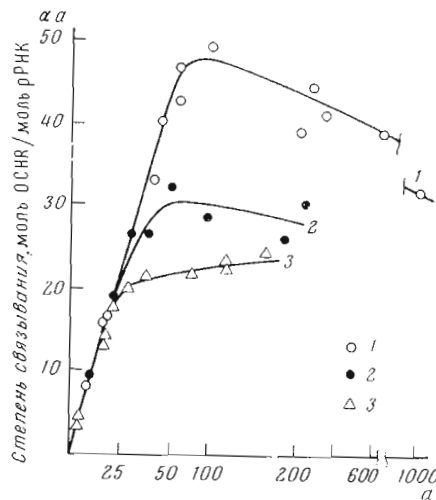


Рис. 2

ные алкилируются; в этом случае образуются непродуктивные комплексы, в которых реагент вынужден реагировать с низкомолекулярными нуклеофилами, присутствующими в среде. На рис. 1 приведена концентрационная зависимость алкилирования рРНК в комплексе с $(Ap)_5 A > CH-R-Cl$. Видно, что после алкилирования всех способных алкилироваться участков реакция останавливается. Сопоставление изотермы связывания (рис. 2) и концентрационной зависимости алкилирования в комплексе в тех же условиях (рис. 1) показывает, что степень алкилирования может быть несколько выше степени нековалентного связывания реагента с рРНК (до 5%). В то же время предельная степень алкилирования рРНК в комплексе с $(Ap)_5 A > CH-R-Cl$ (~44 участка в молекулах 16 + 23 S-РНК) иногда ниже числа участков связывания того же реагента (~50). Вероятно, часть комплексов все же не способна алкилироваться. Тот факт, что доля реагента, прореагировавшего с матрицей, выше степени ассоциации реагента, может означать сдвиг равновесия при ковалентном связывании реагента.

Высокая эффективность реагента (алкилирование 80—90% участков связывания) указывает либо на способность алкилироваться в комплексе любого основания в одном положении x_i , либо на алкилирование некоторых (или одного) оснований в нескольких положениях $x_1 — x_i$.

Если вблизи участков связывания имеется статистическое распределение нуклеотидов, то вероятность нахождения каждого из них в положениях $x_1 — x_i$ можно вычислить на основании нуклеотидного состава рРНК. Из табл. 1 видно, что при способности к алкилированию только одного определенного основания, например гуанина в одном положении x_i число непродуктивных комплексов должно быть весьма большим (~70%). Для алкилирования одного основания при наблюдаемой степени алкилирования (80% участков связывания) алкилированию должны быть доступны 4 положения ($4 x_i$); алкилирование двух видов оснований требует доступности 3 x_i (табл. 1). Если алкилированию подвергаются несколько различных оснований только в одном положении x_i , то содержание алкилированных производных должно соответствовать вероятности нахожде-

Таблица 1

Вероятность нахождения оснований вблизи участка связывания
 $(Ap)_{n-1}A > \text{CH-R-Cl}$ в рРНК *E. coli*

Основания	Нуклеотидный состав, %	x_i	x_1	$2x_i$	$3x_i$	$4x_i$
Gua	32,4	0,324	0,41	0,54	0,69	0,79
Cyt	21,5	0,215	0,27	0,38		
Ade	25,2	0,252	0,32	0,44		
Ura	20,8	0,208	0,0	0,25		
Gua + Cyt	53,9	0,539	0,68	0,79	0,90	0,93
Gua + Cyt + Ade	79,1	0,791	1,00	0,956	0,97*	

* Для $x_i + nx_i$.

Таблица 2

Идентификация продуктов алкилирования рРНК $^{14}\text{C}-(\text{Ap})_5\text{A} > \text{CH-R-Cl}$
 в комплексе после кислотного гидролиза модифицированной рРНК

Номер фракции	Содержание, %	Продукты алкилирования					Вещество	Заведомые вещества					
		R_f в системах						R_f в системах					
		1	2	3	4	5		1	2	3	4	5	
1	17	0,33	0,43	0,45	0,34	0,28	OCHRpUp?						
	83	0,83	0,89	0,87	0,88	0,86	OCHRpZ	0,85	0,90	0,88			
							OCHRpU	0,59	0,70	0,65			
							OCHRpUp	0,52	0,60	0,64	0,46	0,65	
2	14	0,33	0,42	0,44	0,32	0,28	OCHRpCp?						
	70	0,41	0,57	0,54	0,50	0,44	OCHRCp	0,39	0,55	0,53	0,52	0,40	
	16	0,63	0,79	0,75	0,80	0,62	OCHRCp *	0,70	0,70	—	0,70	0,43	
3	14	0,42	0,60	0,63	0,42	0,69	OCHRGua	0,44	0,64	0,62	0,42	0,68	
	86	0,70	0,78	0,77	0,72	0,86	OCHRAde *	0,70	0,78	—	0,72	—	
							I-OCHRAde	0,74	—	0,61	0,72		
4	6	0,13	0,20	0,30	0,23	0,32							
	7	0,26	0,34	0,48	0,35	0,48							
	48	0,42	0,63	0,61	0,44	0,65	OCHRGua	0,44	0,64	0,62	0,42	0,68	
	3	0,56	0,75	0,74	0,59	0,76	OCHRCyt	0,60	0,78	0,76	0,59	0,76	
	32	0,70	0,82	0,84	0,76	0,88	OCHRAde *	0,71	0,77	—	0,70	—	
5	4	0,84	0,96	0,94	0,92	0,97	OCHRAde *	—	0,96	—	0,93		
	100	0,84	0,68	0,60	0,47	0,58	OCHRGua *	—	—	0,44	0,54		
							N ⁶ -OCHRAde	—	0,88	—	0,75	0,86	

* Продукты превращений OCHRGua, OCHRAde и OCHRCp в кислоте.

ния этих оснований в данном положении, т. е. сумме содержания этих оснований в положении x_i . Таким образом, строение и состав продуктов алкилирования в комплексе позволяют определить не только химическую направленность, но и позиционную специфичность реакции в комплексе.

Для выяснения, какие основания алкилируются в комплексе, 16 + 23 S-РНК алкилировали $^{14}\text{C}-(\text{Ap})_5\text{A} > \text{CH-R-Cl}$ при 20° в условиях ~90%-ного связывания реагента. Полученную ^{14}C -OCHR-рРНК гидролизовали в 1н. HCl при 100° , гидролизат хроматографировали на дауэксе-50 (рис. 3). Вещества из объединенных фракций (I—V) разделяли на бумаге и сравнением с заведомыми веществами, полученными нами ранее [6—8], идентифицировали следующие алкилированные соединения: OCHRGua, который идентичен веществу, полученному гидролизом соответствующего алкилгуанозина [6]; OCHRCp, идентичную веществу, выделенному из OCHR-рРНК [7], и OCHRpZ — вещество, идентичное эфиру, образующемуся при кислотном гидролизе соответствующих эфиров пуриновых

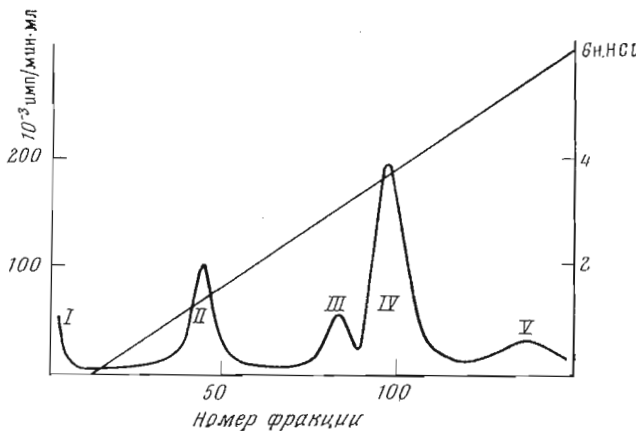


Рис. 3. Профиль разделения алкилированных веществ, образующихся при кислотном гидролизе рРНК, алкилированной $(\text{Ar})_5\text{ACH}-\text{R}-\text{Cl}$ в комплексе. Дауэкс 50 W \times 4 (колонка $26 \times 1,7$ см), линейный градиент от 0 до 6 н. HCl. Общий объем элюата 700 мл, скорость элюции 30 мл/ч, объем фракций 5 мл

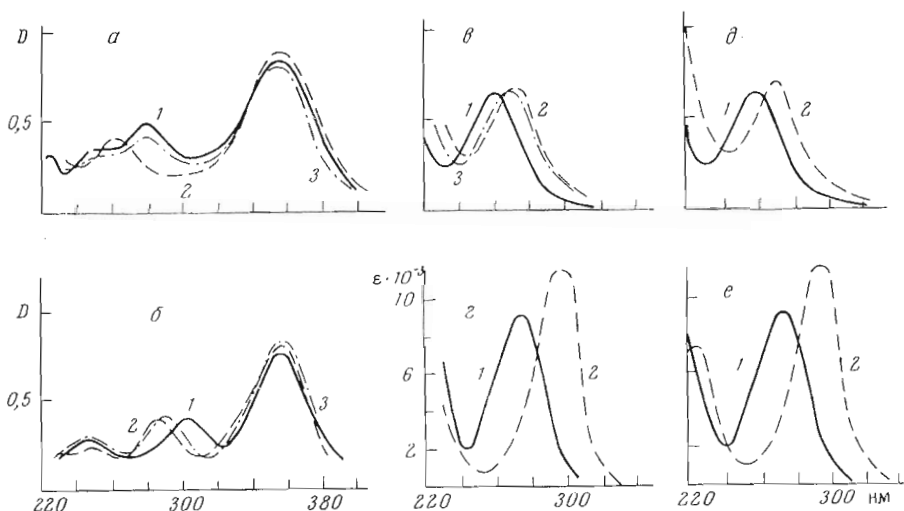


Рис. 4. УФ-спектры 1-алкиладенина (а), 3-алкилцитидина (б), их разностные спектры с 4-(N-2-хлорэтил-N-метиламино)бензальдегидом (с и г), 1-метиладенина (д) [15] и 3-метилцитозина (е) [16]: 1 — pH 2 (а, б) или pH 1 (с—е); 2 — pH 11 (а), pH 13 (б, с, д), pH 10 (г) или pH 9,45 (е), 3 — pH 7

5'-нуклеотидов. Эфиры пиримидиновых 5'-нуклеотидов в этих условиях не гидролизуются [8]. Свойства выделенных и заведомых веществ приведены в табл. 2 и на рис. 4. Кроме того, в гидролизате обнаружен ряд веществ, образующихся из перечисленных выше в условиях кислотного гидролиза в результате взаимодействия альдегидной и аминогрупп в продуктах алкилирования [6, 7, 9], а также гидролиза гликозидной связи в ОСНRCp. Для их идентификации были получены ОСНRCyt и соответствующий 1-алкиладенин (ОСНRAde) алкилированием дезоксицитидина и дезоксиаденозина с помощью UCHRCl по аналогии с реакциями соответствующих рибонуклеозидов [9]. В образующихся производных без выделения их из реакционной смеси гидролизовали гликозидную и бензилidenовую связи в мягких условиях. Полученные вещества идентифициро-

Таблица 3

Состав продуктов алкилирования рРНК ^{14}C -(Ap)₆ACH-R-Cl в комплексе при 20°
после кислотного гидролиза модифицированной рРНК

Степень модификации — 29,6 моль остатков OCHR на молекулу 16+23S-рРНК.
Профиль разделения гидролизата приведен на рис. 3

Продукты		Нуклеотидный состав рРНК, %	Число модифицированных участков	Содержание веществ во фракциях, % **				
Название	Содержание в смеси, %			1(10)	2(23)	3(8)	4(52)	5(7)
OCHRGua	25,1	Gua	7,42			14	48	
OCHRGua*	7	32,4	2,08					100
OCHRAde _I *	16,6		4,9				32	
OCHRAde	6,9	Ade	2,05			86		
OCHRAde _{II} *	2,1	25,2	0,62				4	
OCHRCp	16,2		4,8		70			
OCHRCp*	3,7	Cyt	1,1		16			
OCHRCyt	1,5	21,5	0,45				3	
OCHRpZ	8,3		2,45	83				
OCHRpUp?	1,7	Ura	0,51	17				
OCHRpCp?	3,2	20,8	0,95		14			
Вещества с								
R_f 0,26 ***	3,5		1,07				7	
R_f 0,13 ***	3,1		0,93				6	

* Продукты превращения указанных веществ в кислоте.

** В скобках содержание радиоактивных веществ в гидролизате, %.

*** R_f в системе 1.

вали сравнением их разностных УФ-спектров со спектрами аналогичных метилированных соединений. Полученные OCHRAde, OCHRCyt, а также OCHRCp и OCHRGua выдерживали в условиях гидролиза OCHR-рРНК, определяли R_f , образующихся веществ и степень превращения исходных.

В гидролизате OCHR-рРНК был обнаружен OCHRCyt, но не найдено неизмененного OCHRAde. Выдерживание заведомых веществ в 1 н. HCl при 100° в течение часа позволило сравнением R_f , последовательности элюции с дауэкс-50 и степени превращения идентифицировать продукт превращения OCHRGua (обозначаемый OCHRGua*), три продукта превращения OCHRAde (OCHRAde_{I-II}*) и, вероятно, продукт превращения OCHRCp (OCHRCp*).

Продуктов алкилирования урацила (OCHRUp) в гидролизате OCHR-рРНК не найдено.

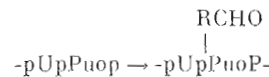
Состав продуктов алкилирования (табл. 2) свидетельствует о том, что гуанин, аденин и цитозин в комплексе алкилируются в соответствии с их содержанием в рРНК (табл. 3). В сумме их содержание составляет 79%. Следует отметить, что при алкилировании тРНК Cl-R-CH-производными [10] в растворе образуется в 5—10 раз больше OCHRGua, чем OCHRCp; аденин и уридин в этих условиях не алкилируются.

Итак, в комплексе алкилируются три основания: гуанин, аденин и цитозин; их алкилирование протекает с близкими, если не одинаковыми скоростями; содержание алкилированных оснований соответствует содержанию исходных оснований в рРНК и, следовательно, вероятности их нахождения в одном положении x_i . Совокупность этих данных означает, что в комплексе Cl-R-CH-реагенты алкилируют любое из этих оснований количественно, если оно расположено в одном определенном, конформационно удобном для алкилирования, положении x_i вблизи 5'-конца участка связывания.

Присутствие в гидролизате OCHRpZ означает, что в комплексе алкилируются и фосфоэфирные группы. Можно предполагать, что это про-

исходит в тех комплексах, в которых конформационно способное алкилироваться положение занято уридином. Однако количество обнаруженного OCHRpZ в 2,5 раза меньше вероятности нахождения в данном положении уридина (табл. 1 и 2). Как указывалось выше, OCHRpZ образуется из эфиров пуриновых нуклеотидов. Если OCHRpZ возникает в результате

алкилирования межнуклеотидных фосфатов, находящихся в 5'-положении к пуриновому нуклеозиду



а не концевых 5'-фосфатов 16 и 23 S-RНК*. то, вероятно, должны алкилироваться и фосфодиэфирные группы рядом с пиридиновыми нуклеозидами ($-\text{pUpPydp}-$), а при их гидролизе — возникать эфиры нуклеозидифосфатов (OCHRpPydp). Вероятность их образования равна 0,09.

Если бы протекало алкилирование 5'-фосфата конформационно способного алкилироваться нуклеозида, в данном случае уридина, то вместо OCHRpZ и других эфиров был бы получен только OCHRpUp. К эфирам OCHRpPydp в гидролизате по R_f и месту элюции с колонки можно пред-

Рис. 5. Влияние температуры и избытка $(\text{Ap})_4\text{ACN}\text{-R-Cl}$ на степень модификации рРНК в комплексе: 1 — 5°, 2 — 20°; $[\text{pRNK}]_0 = 0,063$ мкМ

положительно отнести вещества с R_f 0,33 (система 1) из первой и второй фракций (рис. 5, табл. 2 и 3). В сумме с OCHRpZ они составляют 60% от содержания уридина в рРНК. Однако для реализации изложенной схемы расщепления фосфотриэфиров следует допустить, что эти фосфотриэфиры достаточно устойчивы, гидролизуются в кислоте при нагревании не через циклофосфаты. Единственным свидетельством такого аномального расщепления служит отсутствие среди продуктов гидролиза 4-(N-2-оксиэтил-N-метиламино)бензальдегида ($\text{HO}-\text{R}-\text{CHO}$), который должен образоваться в случае гидролиза фосфотриэфиров через циклофосфаты.

Следует отметить, что образование OCHRpZ означает, что при алкилировании РНК в комплексе с $(\text{Np})_{n-1}\text{N} > \text{CH-R-Cl}$ положение x_1 не затрагивается, так как при действии на рРНК $(\text{Ap})_5\text{A} > \text{CH-R-Cl}$ в случае возможности алкилирования x_1 модифицированные основания составили бы 100%, поскольку вероятность нахождения уридина в x_1 положении близка 0. В действительности этого не наблюдается. Кроме оснований, алкилируются фосфоэфирные группы, и количество образующихся эфиров вполне объясняет алкилирование более 79% комплексов. При алкилировании Cl-R-CH-реагентами в растворах алкилирования фосфодиэфирных связей не наблюдалось [11].

Анализ взаимодействия бензилиденовых производных олигонуклеотидов с комплементарной цепью, проведенный Д. Г. Кнорре и В. Ф. Зарытовой с помощью моделей, показал, что в конформации совершенной двойной спирали алкилирующая группировка способна реагировать с основанием в положении x_3 и x_4 , с некоторым напряжением с основанием в положении x_2 , но не с основаниями x_1 . Конформационные изменения в реагенте, возникающие благодаря нековалентным взаимодействиям модифицирующей группы с соседним гетероциклом, не учитывались.

На основании изложенного можно заключить, что при алкилировании в комплексе различия в реакционной способности гуанина, аденина и

* Что не исключено, так как найденное количество OCHRpZ отвечает за модификацию 2,5 участка в рРНК.

цитозина исчезают. Степень модификации оснований соответствует их содержанию в рРНК и, следовательно, вероятности их нахождения в одном положении вблизи 5'-конца участка связывания реагента $x_2 = x_i$, но не x_1 . Реакция в комплексе протекает количественно, если конформационно способное алкилироваться положение занято гуанином, аденином или цитозином. Если в нем находится уридин, то алкилированию, вероятно, подвергается фосфодиэфирная группа.

То, что в комплексе модифицируются активные группировки, находящиеся в одном положении вблизи участка связывания, указывает на достаточно благоприятную конформацию реагентов $(Np)_{n-1}N > CH-R-Cl$ для модификации в комплексе. Позиционная специфичность такого алкилирования относительно 5'-конца участка связывания однозначна, и ошибка комплементарно адресованной модификации будет определяться различием в скоростях алкилирования в комплексе и в растворе. Скорость алкилирования в растворе (скорость статистического алкилирования) зависит от концентрации свободного реагента, что в свою очередь определяется константой диссоциации реагента и его избытком относительно участков связывания, взятым в реакцию.

Количество статистически модифицированных оснований P на 100 точек позиционно специфичного алкилирования, выражающее ошибку комплементарно адресованной модификации, можно вычислить по формуле

$$P = 0,3(a - \alpha a)/\alpha a = 0,3(1 - \alpha)/\alpha.$$

При избытке реагента

$$\alpha a \approx b \text{ и } P = 0,3(a - b)/b,$$

где $a = [(Np)_{n-1}N > CH-R-Cl]_0/[rRN]_0$; α — степень ассоциации реагента в комплексе; b — число участков связывания; 0,3 — наибольшая доля реагента, расходуемого на алкилирование в растворе в процентах [2, 3]. При недостатке реагента (при $a \ll b$) различие в скоростях направленного и статистического алкилирования 4—5 порядков и $P = 0,03—0,05$. Таким образом, ошибка при алкилировании в комплексе (при $a \ll b$) сопоставима с ошибкой присоединения аминокислоты к тРНК в процессе аминоацилирования, катализируемого аминоацил-тРНК-синтетазами (0,01%) [12], и ошибкой кодон-антикодонового взаимодействия и переносе аминокислоты в растущую полипептидную цепь (0,03%) [13].

При равных концентрациях свободного и связанного реагента, т. е. при $a = 2b$ $P = 0,3$, а при $a = 10b$ $P = 2,7$. Но эти 2,7 точки алкилирования равновероятно распределены среди 1600 способных алкилироваться гуанинов (из 5000 оснований в рРНК) на фоне 100 (если $b = 100$) участков адресованной модификации. Степень модификации рРНК в итоге составит 2,05% (102,7 оснований из 5000); из них 2% — за счет специфичной и 0,05% — за счет статистической модификации.

Для решения ряда задач, безусловно, представляет интерес алкилирование всех участков связывания или максимально быстрое алкилирование (алкилирование в условиях насыщения). При низкой температуре насыщение всех участков связывания достигается при 2—3-кратном избытке реагента (рис. 1) и P , следовательно, не более 0,9. При повышенной температуре для алкилирования всех участков связывания необходим значительный избыток реагента, поскольку концентрация комплекса невелика (рис. 5). Так, при 20° и $a = 10b$ $(Ap)_4A > CH-R-Cl$ алкилирует в молекуле $16 + 23$ S-РНК позиционно специфично 5 оснований из 5000 (рис. 4); степень модификации рРНК 0,1%, статистически при этом алкилируется 0,14 оснований, и степень статистической модификации 0,003%. При $a = 100b$ скорость алкилирования в комплексе еще превосходит скорость алкилирования в растворе на порядок, но P равно 30 и степень статистической модификации приближается к 25% от общей.

Экспериментальная часть

рРНК выделяли из биомассы *E. coli* MRE 600 фенольной экстракцией, осаждением этанолом и переосаждением 2 М NaCl или из рибосом по методике работы [14]. $E_{260}^{0,1\%} = 16 - 20$ в 0,2 М NaCl + 0,01 М MgSO₄ в 0,01 М трис-HCl (буфер 1), pH 7,3. По данным электрофореза в полиакриламидном геле и центрифугирования в сахарозном градиенте, препарат содержит в основном 16 и 23 S-РНК. Содержание белка по Лоури менее 2%.

Концентрацию рРНК выражали в микромолях 16 + 23 S-РНК, определяя ее по поглощению при 260 нм в буфере 1; молярную экстинкцию определяли после щелочного гидролиза в расчете на 5000 нуклеотидов [5] ($33 \cdot 10^6 - 36 \cdot 10^6$ л·моль⁻¹см⁻¹). Характеристика реагентов (5 мКи/ммоль) и их получение приведены в работе [3]. Радиоактивность в растворах измеряли в диоксановом сцинтиляторе (на хроматограммах — в толуольном) на счетчике «Mark II» фирмы «Nuclear Chicago» (США). Комплементарные комплексы рРНК c(Ap)_{n-1}A > CH-R-Cl ($n = 4 - 6$) получали по методу, описанному в работе [1]. Алкилирование в комплексе при разных температурах и разных концентрациях реагентов проводили в буфере 1; степень модификации определяли, как указано в работе [3]. Хроматографию проводили на бумаге FN3 в следующих системах растворителей: изопропанол — конц. аммиак — вода, 7 : 1 : 2 (1); изопропанол — вода, 6 : 4 (2); этанол — 1М ацетат аммония, pH 7,5, 7 : 3 (3); изопропанол — конц. HCl — вода, 170 : 41 : 39(4); трет-бутанол — метилэтилкетон — — HCOOH — вода, 40 : 30 : 15 : 15 (5).

Идентификация алкилированных оснований в рРНК, модифицированной в комплексе. 64 мкМ рРНК и 2,1 мМ (Ap)₅A > CH-R-Cl ($a = 32,8$) в буфере 1, содержащем CHCl₃, выдержали при 20° 7 сут. После добавления 1 М ацетата Na и гидролиза бензилиденовой связи при 40° 30 мин OCHR-рРНК выделяли гель-фильтрацией (1-я фракция) на сепадексе G-75 (колонка 44 × 1,4 см) в 0,02 М трис-HCl буфере (pH 7,2). Степень модификации составила 29,6 моль реагента на моль 16 + 23 S-РНК (выход по реагенту 90%). Раствор OCHR-рРНК упаривали досуха и гидролизовали в 1 мл 1 н. HCl при 100° 1 ч. После разбавления водой до 10 мл гидролизат хроматографировали на колонке с дауэксом 50W × 4 (H⁺), 200—400 меш (26 × 1,7 см) в линейном градиенте от воды до 6 н. HCl. Скорость элюции 30 мл в 1 ч; объем фракций 5 мл (рис. 3). Выход радиоактивных веществ — 96%. Радиоактивность во фракциях определяли непосредственно, а для определения содержания радиоактивных веществ фракции объединяли, пробы из объединенных фракций упаривали для удаления HCl, растворяли в воде и просчитывали в диоксановом сцинтиляторе. Содержание радиоактивных веществ во фракциях приведено в табл. 2. Объединенные фракции упаривали, наносили на бумагу и хроматографировали в системах 1—5. Хроматограммы просчитывали в толуольном сцинтиляторе и вещества идентифицировали сравнением с заведомыми. R_f приведены в табл. 2; состав — в табл. 3.

1-[β-(N-Метил-N-4-формилфениламино)этил]аденин (1-OCHRAde). 1 мМ дезоксиаденозин и 2 мМ UCHRCI выдерживали в 30%-ном диоксане 8 ч. при 40° и pH 7, добавляя 1 н. NaOH по мере необходимости. После охлаждения к раствору добавили конц. HCl до pH 2 и смесь выдержали 12 ч при 25°. OCHRAde выделили из 2-й фракции, полученной при хроматографировании смеси на SE-сепадексе («Farnsworth», Швеция) в линейном градиенте от 0 до 1,4 н. HCl и последующей BX в системах 2 и 4. Выход ~5%; свойства приведены в табл. 2 и на рис. 4.

3-[β-(N-Метил-N-4-формилфениламино)этил]цитозин (OCHRCyt). Дезоксицитидин алкилировали UCHRCI аналогично предыдущему. Гидролиз гликозидной связи проводили в 0,01 н. HCl при 100°. Выход ~5%. Свойства приведены в табл. 2 и на рис. 4.

Действие кислоты на алкилированные основания. OCHRGua, OCHRAde и OCHRCp выдерживали 1 ч при 100° в 1 н. HCl. Хроматографировали на дауэксе 50W × 4 (H⁺) и на бумаге (табл. 3). OCHRGua дает 1 вещество (выход ~20%); OCHRCp — 2 (25—30%); OCHRAde превращается в 3 новых вещества полностью.

Авторы благодарят А. Н. Чемасову за активное участие в выполнении эксперимента.

ЛИТЕРАТУРА

- Гринева Н. И., Карпова Г. Г., Шамовский Г. Г. (1974) Молекулярн. биология, 8, 358—371.
- Grineva N. I., Karpova G. G., (1973) FEBS Lett., 32, 351—355.
- Гринева Н. И., Карпова Г. Г. (1974) Молекулярн. биология, 8, 832—838.
- Гринева Н. И., Власов В. В., Зарытова В. Ф., Кнопре Д. Г. (1970) Молекулярн. биология, 4, 201—204.
- Спирин А. С., Гаврилова Л. П. (1971) Рибосома, «Наука», М.
- Беликова А. М., Гринева Н. И., Еремеева Т. П., Курбатов В. А. (1970) Молекулярн. биология, 4, 663—672.
- Беликова А. М., Гринева Н. И. (1971) Изв. СО АН СССР. Сер. хим., вып. 1, 111—117.
- Веньяминова А. Г., Гринева Н. И., Карпова Г. Г. (1974) Изв. СО АН СССР. Сер. хим., вып. 2, 130—138.
- Беликова А. М., Гринева Н. И., Карпова Г. Г. (1973) Химия гетероциклических соедин., 413—418.
- Беликова А. М., Гринева Н. И. (1971) Изв. СО АН СССР. Сер. хим., вып. 5, 119—127.
- Гринева Н. И., Кнопре Д. Г., Курбатов В. А. (1970) Молекулярн. биология, 4, 814—820.
- Loftfield R. B., Hecht L. I., Eigner E. A. (1963) Biochim. et biophys. acta, 72, 383—390.
- Loftfield R. B. (1963) Biochem. J., 89, 82—92.
- Nirenberg M. W., Matthaei J. H. (1961) Proc. Nat. Acad. Sci. U.S.A., 47, 1588—1602.
- Венкстери Т. В., Баев А. А. (1967) Спектры поглощения миорных компонентов и некоторых олигонуклеотидов рибонуклеиновых кислот, «Наука», М.
- Ueda T., Fox J. J. (1963) J. Amer. Chem. Soc., 85, 4024—4028.

Поступила в редакцию
10.IX.1974

ALKYLATION OF RIBOSOMAL RNA COMPLEMENTARILY COMPLEXED WITH 2',3'-O[4-(N-2-CHLOROETHYL-N-METHYLAMINO)-BENZYLIDENE] OLIGONUCLEOTIDES. CHEMICAL SELECTIVITY AND POSITIONAL SPECIFICITY

GRINEVA N. I., KARPOVA G. G.

*Institute of Organic Chemistry, Siberian Division
of the Academy of Sciences of the USSR, Novosibirsk*

Chemical selectivity and positional specificity of the complementarily addressed modification of nucleic acids by alkylating reagents containing 3'-terminal modifying groups have been evaluated in alkylation of rRNA *E. coli* with 2',3'-O[4-(N-2-chloroethyl-N-methylamino)-benzylidene]hexaadenylate /(*Ap*)₅ACHRCl/. Alkylation in a complex is shown to proceed highly specifically, but not selectively, 7-alkylguanine (OCHRGua), corresponding 3-alkylcytidine-phosphate (OCHRCp), products of further transformation of purine nucleoside-5'-alkylphosphate (OHCpZ) and 1-alkyladenine (OCHRAde) were isolated after acid hydrolysis of alkyl-rRNA (OCHR-rRNA) prepared by rRNA alkylation in a complex with (*Ap*)₅A>CHRCl. Alkylation in a complex proceeds to a completion if guanine, cytosine or adenine are conformationally available for alkylation, uracil however does not react neither in a solution nor in a complexed state. The rate of alkylation within a complex is 5 orders of magnitude higher than that in a solution. Under conditions of low reagent concentration a positional error of complementarily addressed alkylation is 0.03%.